

SUTULLAYANIN DAXİLİ ŞAXTALI XƏNDƏKLİ BAŞ QURĞUSUNDA AXININ DƏRİNLİKLƏRİNİN HESABLANMASI DÜSTURUNUN ÇIXARILMASI

A.Ə.BAYRAMOV
"SUKANAL" ET və Lİ

Daxilində əlavə şaxta yerləşdirilmiş xəndəkdən ibarət konstruksiya olunub təklif edilmiş səthi sutullayanın baş qurğusu su anbarından yeddi tərəfdən qidalanır və onun uzunluğunu boyu axının hərəkəti dəyişən sərfli olur. Ona görə də, xəndəyin uzunluğunu boyu suyun dərinliklərinin təyini üçün ifadə alarkən axının hərəkət miqdarının dəyişməsi nəzəriyyəsindən istifadə olunur. Burada xəndəyin bir-birindən sonsuz kiçik dx məsafəsində yerləşən I-I və II-II kəsikləri ilə məhdudlaşdırılmış hissəsi nəzərdən keçirilir (şək. 1).

Xəndəyin I-I kəsiyində vahid zaman anında yaranan hərəkət miqdarının ifadəsi belə olur:

$$H_{I-I} = \rho \cdot Q \cdot v = \frac{\gamma}{g} \cdot Q \cdot v, \quad (1)$$

burada, Q - axının sərfi; v - axının sürəti; ρ - axının sıxlığı və xüsusi çəkisi; $g = 9.81 \text{ m/san}^2$ - dir.

(1) - ə uyğun olaraq, xəndəyin II-II kəsiyində axının hərəkət miqdarının ifadəsi üçün yazırıq:

$$H_{II-II} = \frac{\gamma}{g} \cdot (Q + dQ) \cdot (v + dv), \quad (2)$$

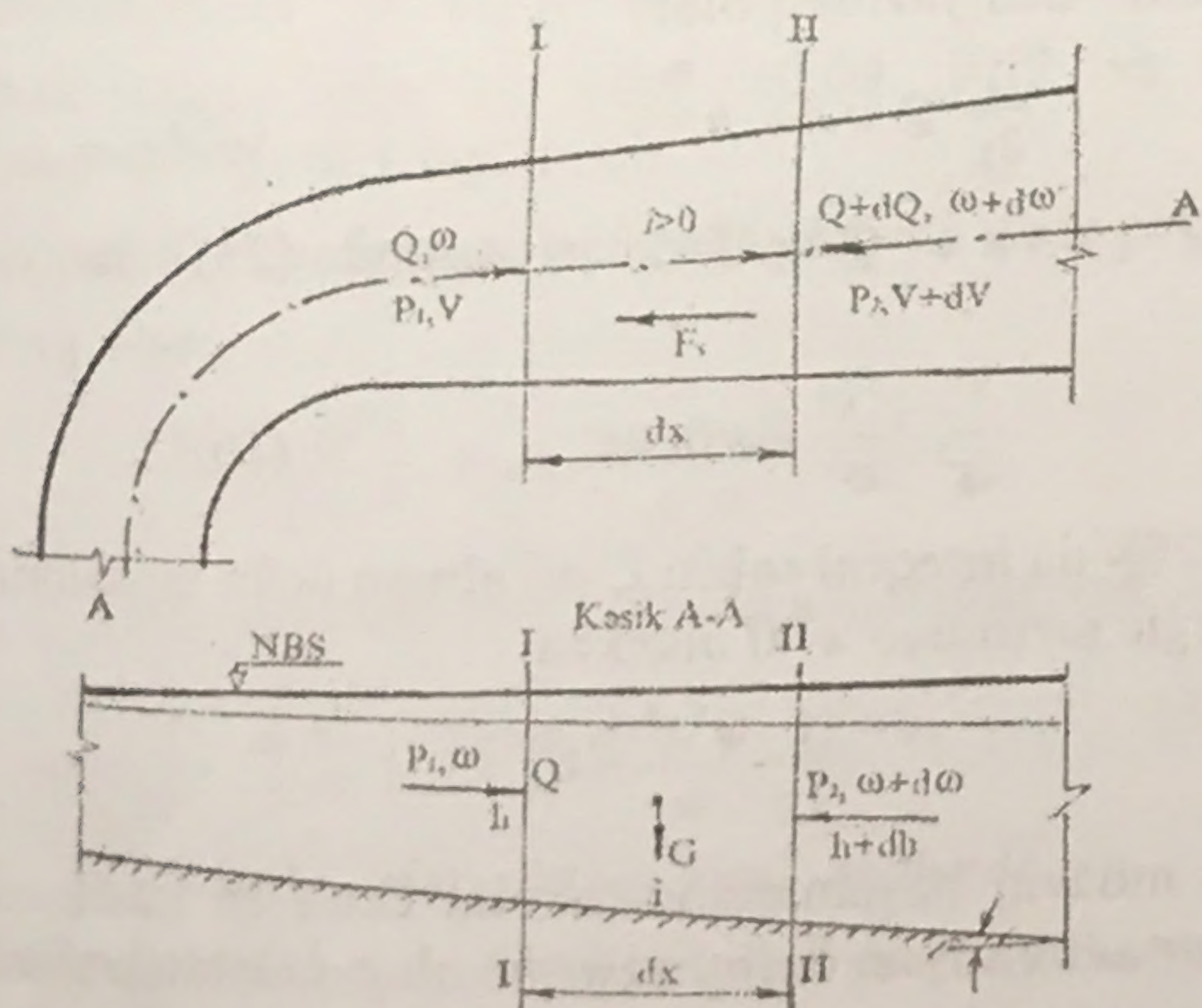
burada, dQ , dv - axının sərfi və sürətinin I-I və II-II kəsikləri arasında elementar artımları.

(1) və (2) - dən xəndəyin I-I və II-II kəsikləri arasında hərəkət miqdarının dəyişməsi ifadəsini belə yazmaq olar:

$$H_{II-II} - H_{I-I} = \frac{\gamma}{g} \cdot (Q + dQ) \cdot (v + dv) - \frac{\gamma}{g} \cdot Q \cdot v,$$

Sonuncu ifadəni sadələşdirərək lazımi ixtisarlara aparıb və sonsuz kiçik ifadələrdən ibarət $dQ \cdot dv$ vuruğunu nəzərdən atsaq, alırıq:

$$H_{II-II} - H_{I-I} = \frac{\gamma}{g} \cdot d(Q \cdot v). \quad (3)$$



Şəkil.1 Hesabat sxeması.

I-I və II-II kəsikləri arasında nəzərdən keçirilən xəndək hissəsində hərəkət miqdarının dəyişməsi həmin hissədəki axına təsir edən qüvvələrin axın istiqamətindəki proyeksiyalarının impulsu cəminə bərabər olmalıdır. Xəndəyin elementar uzunluğunda axına təsir edən qüvvələr aşağıdakı kimi tapılır.

Xəndəyin nəzərdən keçirilən elementar hissəsinin I-I kəsiyinə axının göstərdiyi təzyiq qüvvəsi:

$$P_{I-I} = \gamma \cdot \omega \cdot h, \quad (4)$$

burada, ω - I-I kəsiyində axının canlı en kəsiyi sahəsi; h - axının kəsikdə dərinliyidir.

II-II kəsiyində axının təzyiq qüvvəsi isə belə ifadə olunur:

$$P_{II-II} = \gamma \cdot (\omega + d\omega) \cdot (h + dh), \quad (5)$$

burada, $d\omega$, dh - I-I və II-II kəsikləri arasında axının canlı en kəsiyi və dərinliyi artımlarıdır.

(4) və (5) -dən xəndəyin elementar uzunluğundakı məcrasının I-I və II-II kəsiklərinə təsir edən suyun təzyiq qüvvələrinin axın istiqaməti üzərində proyeksiyaları cəmi aşağıdakılardan ibarətdir:

$$P_{I-I} - P_{II-II} = -\gamma \cdot (\omega \cdot dh + h \cdot d\omega) - \gamma \cdot d\omega \cdot dh,$$

Sonuncu ifadədə $d\omega \cdot dh$ kiçik olduğundan atılır və kiçik çevirmələrin nəticəsində alırıq:

$$P_{I-I} - P_{II-II} = -\gamma \cdot d(\omega \cdot h). \quad (6)$$

I - I və II - II kəsikləri ilə məhdudlaşdırılmış dx uzunluqlu xəndəkdə suyun ağırlıq qüvvəsi aşağıdakı formada ifadə olunur:

$$G = \gamma \cdot \left(\frac{\omega + \omega + dh}{2} \right) \cdot dx, \quad (7)$$

(7) - nin üzərində çevirmələr aparıb və burada $d\omega \cdot dx$ -i nəzərə almadıqda tapırıq:

$$G = \gamma \cdot \omega \cdot dx. \quad (8)$$

(8)-dən suyun ağırlıq qüvvəsinin axın istiqamətində proyeksiyası üçün yazmaq olar:

$$G_{pr} = \gamma \cdot \omega \cdot dx \cdot \sin \beta, \quad (9)$$

burada, β - xəndəyin məcrası dibinin horizontal müstəviyə nəzərən yatım bucağıdır. Digər tərəfdən, xəndəyin uzununa dib mailliyi $i_0 = \sin \beta$ olduğundan (9) belə ifadə edilir:

$$G_{pr} = \gamma \cdot i_0 \cdot \omega \cdot dx. \quad (10)$$

Bununla bərabər, xəndəyin nəzərdən keçirilən elementar məntəqəsində yaranan sürtünmə qüvvəsi üçün yazırıq:

$$F_{\text{sur}} = -\tau \cdot \left(\chi + \frac{d\chi}{2} \right) \cdot dx, \quad (11)$$

burada τ - toxunan gərginlik; χ - xəndəyin islanmış perimetri; dx - islanmış perimetrin məsafəsində dəyişməsidir.

(10) - da $\tau = \gamma \cdot R \cdot i_f$ (R - hidravliki radius; i_f - hidravliki maillikdir), $R = \omega/\chi$ olmasını nəzərə alıb və $d\chi \cdot dx$ vuruğunu kiçik olduğu üçün atsaq sürtünmə qüvvəsinin ifadəsi belə alınır:

$$F_{\text{sur}} = -\gamma \cdot i_f \cdot \omega \cdot dx. \quad (12)$$

Bundan başqa I-I və II-II kəsikləri arasında xəndəyin yan divarlarına suyun təzyiqindən yaranan reaksiya qüvvəsi üçün yazmaq olar:

$$R_y = \gamma \cdot \left(\frac{h + h + dh}{2} \right) \cdot d\omega \approx \gamma \cdot h \cdot d\omega, \quad (13)$$

(13) - də $dh \cdot d\omega$ vuruğu kiçik olduğundan atılıb.

Yuxarıda göstərilənlərin əsasında nəzərdən keçirilən elementar uzunluqlu xəndəyin I - I və II - II kəsikləri arasında hərəkət miqdarının dəyişməsi ifadəsini aşağıdakı kimi ifadə etmək olar:

$$\frac{\gamma}{g} \cdot d(Q \cdot v) = -\gamma \cdot d(\omega \cdot h) + \gamma \cdot h \cdot d\omega + \gamma \cdot \omega \cdot i_0 dx - \gamma \cdot \omega \cdot i_f dx, \quad (14)$$

və yaxud

$$\frac{1}{g} \cdot d(Q \cdot v) = -d(\omega \cdot h) + h \cdot d\omega + \omega \cdot i_0 dx - \omega \cdot i_f dx. \quad (15)$$

Qeyd etmək lazımdır ki, yol boyu dəyişən sərfli axının (15) və digər formalı hərəkət tənliyi bir - çox alimlərin işlərində şərh olunmuşdur [1, 3, 4].

A. Q. Petrovun nəzəri tədqiqatlarının nəticəsində yol boyu dəyişən sərfli axının hərəkət tənliyi aşağıdakı kimi alınmışdır [4]:

$$d\left(\frac{\alpha_0 \cdot Q^2}{g \cdot \omega}\right) + \omega \cdot dh - \omega \cdot i_0 dx + \omega \cdot i_f dx - \frac{\alpha_0 \theta}{g} \cdot dQ = 0, \quad (16)$$

burada θ - birləşən axının sürətinin əsas axının istiqaməti üzərindəki proyeksiyasıdır; α - axının sürətinin xəndəyin canlı en kəsiyi üzrə qeyri-bərabər paylanması nəzərə alan əmsaldır.

Yol boyu sərfi dəyişən axının (15) və (16) formasında çıxarılmış tənliklərinin dəqiq integrallarının yerinə yetirilməsi yalnız bu tənliklərə daxil olan və digər parametrlərin xəndəyin uzunluğundan asılı funksiyalar kimi ifadə olunması halında mümkün olur. Lakin bu ifadələrin alınması xeyli çətinlik törətdiyindən (15), (16), eləcə də bunlara oxşar tənliklərin təxmini integrallanmasına cəhd göstərilir.

Yuxarıda qeyd olunanları nəzərə alaraq xəndəyin uzununu boyu dəyişən sərfli hərəkət edən axının (15) ifadəsinin integrallanması məqsədilə bir sıra işləmələr yerinə yetirilmişdir və onların nəticələri aşağıda şərh olunur.

Burada (15) -in integrallanmasını aparmaq məqsədilə onu belə yazırıq:

$$\frac{1}{g} \cdot d(Q \cdot v) = -d(\omega \cdot h) + h \cdot d\omega - (i_f - i_0) \cdot \omega dx. \quad (17)$$

Burada $(i_f - i_0) dx = dh$ ifadə edib (17) - dən alırıq:

$$\frac{1}{g} \cdot d(Q \cdot v) = -d(\omega \cdot h) + h \cdot d\omega - \omega \cdot dh, \quad (18)$$

Xəndəyin uzununu boyu axının dərinliyinin hesablanması üçün ifadənin çıxarılması məqsədilə (15)-in təxmini integrallanmasını apararkən ikinci variantda (18) sadələşdirilib belə verilir:

$$\frac{1}{g} \cdot d(Q \cdot v) = -2 \cdot \omega \cdot dh \quad (19)$$

və yaxud

$$\frac{1}{2g} \cdot d(Q \cdot v) = -\omega \cdot dh. \quad (20)$$

Sonuncu ifadədə xəndəyin istənilən kəsiyində axının dərinliyinin dh artması ilə həmin kəsikdə suyun səthi müstəvisinə nəzərən onun canlı en kəsiyinin statik momentinin artması ifadəsindən $\omega dh = d(\omega \cdot h_a)$ yazmaq olar. Nəzərə almaq lazımdır ki, $d(\omega \cdot h_a)$ ifadəsində kəsiyin canlı en kəsiyi sahəsi ω - nın ağırlıq mərkəzinin suyun sərbəst səth müstəvisinə görə koordinantı h_a -dır. Onda adıçəkilən sahənin statik momentinin elementar artması ifadəsi üçün yazılır [4]:

$$d(\omega \cdot h_a) = \omega \cdot dh + b \frac{(dh)^2}{2}, \quad (21)$$

burada b - məcranın kəsikdə dibdən enidir.

(21) - də ikinci həddi kiçik olduğu üçün nəzərə almasaq və $h_a = h$ qəbul etsək alırıq [2, 3, 4]:

$$\omega \cdot dh = d(\omega \cdot h) \quad (22)$$

Onda (22) -ni (21) - də yerinə yazıb tapırıq:

$$\frac{1}{2g} \cdot d(Q \cdot v) + d(\omega \cdot h) = 0. \quad (23)$$

Sonuncu ifadədən integrallı alırıq:

$$\frac{1}{2g} \int d(Q \cdot v) + \int d(\omega \cdot h) = 0, \quad (24)$$

(24) - dən yazmaq olar:

$$\frac{1}{2g} \cdot Q \cdot v + \omega \cdot h = C, \quad (25)$$

$Q = q \cdot x$ və $v = Q/\omega$ ifadələri əsasında (25) - dən yazılır:

$$\frac{1}{2g} \cdot \frac{q^2 x^2}{\omega} + \omega \cdot h = C. \quad (26)$$

(26) - da integral sabiti C -ni almaq üçün məsələnin başlangıç şərtindən $x=0$ olarkən

$$\frac{1}{2g} \cdot \frac{q^2 x^2}{\omega} = 0,$$

xəndəyin başlangıcında axının canlı en kəsik sahəsi $\omega = \omega_0$ və suyun dərinliyi $h = h_0$ olur. Göstərilənlərin əsasında (26) - dan alırıq:

$$C = \omega_0 h_0, \quad (27)$$

(27) -ni (26) - da C - nin yerinə qoysaq:

$$\frac{1}{2g} \cdot \frac{q^2 x^2}{\omega} + \omega \cdot h = \omega_0 \cdot h_0,$$

Sonuncu ifadəni sadələşdirərək xəndəyin uzunluğunu axının dərinliklərini təyin etmək üçün tənliyin ikinci variantı aşağıdakı kimi olur:

$$\frac{q^2 x^2}{2g} = \omega(\omega_0 \cdot h_0 - \omega \cdot h). \quad (28)$$

Q. A. Petrovun işlərində yol boyu dəyişən sərfli axının hərəkət tənliyi (3.18) digər formada belə təqdim olunur:

$$\frac{\alpha_0}{g \cdot \omega} \cdot d\left(\frac{Q^2}{\omega}\right) + \frac{dP}{\gamma} + dz + i_f dx - \frac{\alpha_0 \theta}{g \omega} \cdot dQ = 0, \quad (29)$$

burada α_0 - sürətin en kəsik boyu qeyri - bərabər paylanması nəzərə alan əmsal olub, burada $\alpha_0 = 1$ götürülüb; dP/γ - piyezometrik yüksəklikdir, $dP/\gamma = dh$ - dir.

(29) - da xəndəyə tökülən axının sürətinin əsas axın istiqamətindəki proyeksiyası üçün yazmaq olar:

$$\theta = \nu_0 \cdot \cos(90^\circ - \beta) = \nu_0 \cdot \sin \beta, \quad (30)$$

burada, β - xəndəyə tökülən axının sürəti və onun əsas axın üzərindəki proyeksiyasından yaranan sürətlər üçbucağının suşıran tərəfindən təpə bucağıdır; ν_0 - birləşən axının sürətidir.

Qeyd etmək lazımdır ki, xəndəyə yandan tökülən axının istiqamətilə xəndəkdəki əsas axının istiqaməti arasında yaranan bucaq və onun xəndək boyu dəyişməsinə öyrənmək məqsədilə xüsusi eksperimental tədqiqatlar aparılmışdır. Müxtəlif plan formalarında konstruksiya olunan xəndəyin uzunluğunu birləşən axınla əsas axının istiqamətləri arasındakı bucaq 85° - dən 97° - yə kimi dəyişir. Bu məlumatların işləmələri nəticələrinə əsasən sutullayanın təklif etdiyimiz konstruksiyalı xəndəkli baş qurğusunda birləşən axının sürəti və əsas axının istiqamətləri arasında yaranan bucaq 90° - yə yaxındır. Bununla bərabər (29) və (30) - la yerinə yetirilən hesabatlarda bucaq β - nı $5 \dots 7^\circ$ ($\beta_{or} = 6^\circ$) qəbul etmək olar. Belə ki, $\sin \beta = 0.09 \dots 0.12$ və yaxud $(\sin \beta = 0.09)_{or} = 0.1$ təşkil edir.

(29) - da $dz = i_0 dx$ və $(i_0 + i_f) dx = dh$ ifadə etsək yazmaq olar:

$$\frac{1}{g \cdot \omega} \cdot d\left(\frac{Q^2}{\omega}\right) + 2 \cdot dh - \frac{\nu_0 \cdot \sin \beta}{g \cdot \omega} \cdot dQ = 0. \quad (31)$$

(30) -u nəzərə alıb (29) -da sadələşdirərək alırıq:

$$d\left(\frac{Q^2}{\omega}\right) + 2g \cdot \omega \cdot d \cdot h - \theta \cdot dQ = 0, \quad (32)$$

Qabaqda göstərildiyi kimi $\omega dh = d(\omega h_a)$ ifadə edib, xəndək boyu $\theta = \text{const}$ qəbul edib (29) - u inteqrallayaq.

$$\int d\left(\frac{Q^2}{\omega}\right) + 2g \int d(\omega \cdot h_a) - \theta \int dQ = 0$$

və yaxud

$$\frac{Q^2}{\omega} + 2g \cdot \omega \cdot h_a - \theta \cdot Q = C, \quad (33)$$

burada C - inteqral sabitidir.

Bir çox mövcud materiallarda olduğu kimi $h_a = h/2$ yazıb [3] və bunu (33) - də nəzərə alaraq tapırıq:

$$\frac{Q^2}{\omega} + g \cdot \omega \cdot h - \theta \cdot Q = C. \quad (34)$$

və yaxud

$$\frac{q^2 x^2}{\omega} + g \cdot \omega \cdot h - \theta \cdot qx = C, \quad (35)$$

(35) - dən $x=0$ olarkən $\omega = \omega_b$ və $h = h_b$ şərtindən inteqral sabiti üçün alırıq:

$$C = g \cdot \omega_b \cdot h_b, \quad (36)$$

(36) -nı (35) - də yerinə yazsaq:

$$\frac{q^2 x^2}{\omega} + g \cdot \omega \cdot h - \theta \cdot qx = g \cdot \omega_b \cdot h_b, \quad (37)$$

(37) - də - nın (30) - dan ifadəsini yerinə yazsaq:

$$\omega \cdot h - \omega_b \cdot h_b + \frac{q^2 x^2}{g \omega} + \frac{q \cdot x \cdot \nu_0}{g} \cdot \sin \beta = 0. \quad (38)$$

Burada ω_b, h_b - xəndəyin başlanğıcında axının canlı en kəsiyi və dərinliyidir; ω, h - xəndəyin başlanğıcından hesabat kəsiyinə kimi məsafədə axının canlı en kəsiyi və dərinliyidir; q - xəndəyə tökülən axının xüsusi sərfidir; ν_0 - xəndəyə tökülən axının sürəti və

$$\nu_0 = \varphi \sqrt{2gH}$$

ifadəsindən tapılır; H - xəndəyin daxili və yaxud xarici suşıranının basqısıdır;

Tədqiqatların nəticələri işləmələri analizi göstərir ki, xəndək boyu birləşən və əsas axınların istiqamətləri arasındakı bucağın dəyişməsi azdır. Bunu nəzərə alaraq sutullayanın təklif etdiyimiz xəndəkli baş suqəbuledicisinin hidravliki hesabasında $\beta = \text{const} = 6^\circ$ qəbul etmək kifayətdir. Ondan başqa, xəndəyin hesabasında birləşən axının xüsusi sərfini $q = Q/L_{ax}$ kimi təyin etmək əlverişlidir. Nəzərdə saxlamaq lazımdır ki, burada L_{ax} xəndəyin oxu üzrə onun uzunluğunu ifadə edir və Q sutullayanın hesabat sərfidir.

Beləliklə yuxarıda yerinə yetirilən nəzəri tədqiqatların nəticəsində təklif olunan xəndəyin uzunluğu boyu suyun dərinliklərini təyin etmək üçün (28) və (38) ifadələri çıxarılmışdır.

Cədvəl 1.

Xəndəkli baş suqəbuledicidə suyun orta dərinlikləri

Sutullayanın sərfi, m ³ /san	Xəndəyin kəsiklərində suyun dərinlikləri, m			
	I-I	II-II	III-III	IV-IV
1500	8.81	9.05	8.55	6.35
1250	7.69	7.80	7.60	5.98
1000	6.31	6.53	6.35	5.23

Cədvəl 2.

Xəndəyin uzunluğunu boyu suyun dərinliyinin
təcrübi və hesabat qiymətləri

Sutullayanın sərfi, m ³ /san	Kəsiklər	Kəsiklərdə suyun dərinliklərinin təcrübi və hesabat qiymətləri, m			Dərinliklərin təcrübi və hesabat qiymətləri fərqi, %-lə	
		Təcrübi	(28) - lə	(38) - lə	(28) - lə	(38) - lə
1	2	3	4	5	6	7
1500	I-I	8.81	9.83	9.83	-11.58	-11.57
	II-II	9.05	9.32	8.07	-2.98	10.83
	III-III	8.55	9.02	7.65	-5.50	10.53
	IV-IV	6.35	7.28	7.28	-14.6	-14.60
1250	I-I	7.69	8.46	8.46	-10.1	-10.10
	II-II	7.80	7.23	7.02	7.30	10.00
	III-III	7.60	7.00	6.70	7.89	11.84
	IV-IV	5.98	6.51	6.51	-8.80	-8.80
1000	I-I	6.31	6.80	6.80	-7.80	-7.80
	II-II	6.75	5.90	5.82	12.60	13.77
	III-III	6.35	5.68	5.53	10.55	12.91
	IV-IV	5.23	5.62	5.62	-7.40	-7.40

Qeyd etmək lazımdır ki, sutullayanın yeni konstruksiyalı xəndəkli baş suqəbuledicisinin hidravliki iş rejiminin öyrənilməsi üçün $\lambda = 75$ modelləşmə miqyasında

eksperimental model qurğusu düzəldilib və onun üzərində çoxsaylı tədqiqatlar aparılmışdır. Suaşırıanların astanası yüksəkliyi su anbarındakı normal su səviyyəsində yerləşdirilib və onun suaşırıan frontunun ümumi uzunluğu 204 m-dir [5,6,7].

Tədqiqatlarda sutullayanın şaxtalı xəndəyində axının orta dərinlikləri təyin edilmişdir və onlar cədvəl 1-də verilmişdir.

Qeyd etmək lazımdır ki, təklif olunmuş yeni konstruksiyalı xəndəyin sonunda yaranan axının dərinliyi $h_s = 1.185 \cdot h_{böh}$ ($h_{böh}$ - xəndəyin çıxışında böhran dərinliyi) ifadəsilə təyin olunur və onun başlanğıcında axının dərinliyi xüsusi qrafikdən tapılır [8,9].

Xəndəyin uzunluğunu boyu suyun dərinliyinin (28) və (38)-lə, eləcə də eksperimentlərlə təyin olunmuş qiymətləri və onların müqayisəli analizi cədvəl 2-də verilmişdir. Bu cədvəlin məlumatlarına əsasən xəndəkdə axının qeyd olunan ifadələrlə və eksperimental tədqiqatlarla alınan dərinlikləri yaxındır.

NƏTİCƏ

İçərisində əlavə şaxta yerləşdirilmiş xəndəkdən ibarət səthi sutullayanın baş qurğusu boyu axının dərinliyini, yerinə yetirilmiş nəzəri tədqiqatların nəticəsində alınmış (28) və (38) ifadələrilə hesablamaq olar.

ƏDƏBİYYAT

1. Слисский С. М. Гидравлические расчеты высоконапорных гидротехнических сооружений. М.: Энергия, 1979.
2. Чертоусов М. Д. Гидравлика (специальный курс). М.-Л., 1962.
3. Чоу В. Т. Гидравлика открытых каналов. М.: Стройиздат, 1969.
4. Петров Г. А. Гидравлика переменной массы. Харьков, 1964.
5. Bayramov A. Ə. Sutullayanın yeni konstruksiyalı xəndəkli baş qurğusunun tədqiqatları, AzETH və MİEİB, Elmi-praktik konfransın materialları, Bakı, 2002-ci il, səh. 271...272.
6. Bayramov A. Ə. Su anbarı qovşaqlarından çayın fəlakət daşqın axınının təhlükəsiz buraxılması, "su ehtiyatları: problemlər, perspektivlər" mövzusunda beynəlxalq su gününə həsr olunmuş elmi-praktiki konfransın materialları, Bakı, 2003-cü il, səh. 6...10.
7. Bayramov A. Ə. Səthi sutullayanın şaxtalı xəndəkdən ibarət baş qurğusunun tədqiqatlarının nəticələri, "Ekologiya və su təsərrüfatı" elmi-texniki və istehsalat jurnalı. Bakı-2005-ci il, səh. 25...28.
8. Bayramov A. Ə. Daxili şaxtalı xəndəyin sonunda suyun dərinliyinin təyini, Azərbaycan Memarlıq və İnşaat Universitetinin elmi əsərləri, №2, Bakı, 2005-ci il, səh. 63...67.
9. Bayramov A. Ə. Səthi sutullayanın xəndəkli baş suqəbuledicisinin başlanğıcında suyun dərinliyinin təyini, "Azərbaycan Aqrar Elmi" jurnalı № 1-2, Bakı, 2006-cı il, səh. 244...246.

AQRAR BAZARIN FORMALAŞMASI İSTİQAMƏTLƏRİ

E.N.QULİYEV, aspirant
Azərbaycan ETKTİ və Tİ

Cəmiyyətdə istehsal münasibətlərinin bazar mexanizminin qanunauyğunluqları əsasında yenidən qurulması transformasiya prosesinin ilkin mərhələlərində köklü ziddiyyətlərin yaranması ilə müşayiət olunmuşdur. Belə ki, XX əsrin 90-cı illərinin əvvəllərindən etibarən keçmiş ittifaqda bazar təsərrüfatçılıq sisteminin formalaşması daha çox əsrin əvvəllərində sosializm quruculuğu istiqamətində həyata keçirilən tədbirlər demək olar ki, analoji xarakter daşmış bu proses daha çox əvvəlki istehsal münasibətlərinin radikal yönümdə ləğvini özündə əks etdirmişdir. Beləliklə nə əsrin əvvəllərində qurulan sosializm həqiqi sosialist cəmiyyəti olmamış, nə də bu cəmiyyətin məcburi dağılması fonunda yaradılmasma

cəhd göstərilən "bazar" dünya praktikasında mövcud olan daha təkmil liberal iqtisadiyyat olmamışdır. Odur ki, istər əsrin əvvəllərində, istərsə də əsrin sonlarında sistem dağıtma prosesləri cəmiyyətin ictimai, siyasi və sosial-iqtisadi həyatının deformasiyası ilə nəticələnmişdir.

Postsosialist cəmiyyətin qurulması təcrübəsini, təhlil edib belə qənaətə gəlmək olar ki, əslində keçmiş ittifaqda başlanmış siyasi və iqtisadi yönümlü mərkəzdənqaçma meyilləri fonunda bazar yaratmaq ideyası və həmin sferanı radikal islahatlarla həyata keçirmək cəhdləri kifayət qədər yanlış səciyyə daşmışdır. Belə ki, real şəraiti nəzərə almaqla həmin dövrdə görüntü xarakterli bazar yaratmaq daha